К. т. н. **В. А. Кукарцев¹** (⊠), к. т. н. **В. В. Кукарцев¹**, к. э. н. **А. В. Кукарцев²**

- ¹ ФГБОУ ВО «Сибирский федеральный университет», г. Красноярск, Россия
- ² ФГБОУ ВО «Сибирский государственный университет науки и технологий имени академика М. Ф. Решетнева», г. Красноярск, Россия

УПК 553.546:66.046.5121:621.365.5

ВЛИЯНИЕ ТЕМПЕРАТУРНЫХ РЕЖИМОВ ПЛАВКИ НА ИЗМЕНЕНИЯ МЕЖПЛОСКОСТНЫХ РАССТОЯНИЙ В КВАРЦИТЕ

Надежность работы индукционной тигельной печи промышленной частоты (ИЧТ), используемой в литейном производстве, зависит от стойкости ее футеровки. По этой причине кварциту, как наиболее дешевому материалу кислой футеровки, посвящено много исследовательских работ как в нашей стране, так и за рубежом. Цель настящих исследований — разработка технологии изготовления и эксплуатации кислой футеровки, которая применяется для выплавки сплавов при рабочих температурах плавки выше 1450 °C. Рассмотрено воздействие температурных режимов плавки на изменения межплоскостных расстояний в структуре кварцита, влияющие на стойкость футеровки печи.

Ключевые слова: индукционная тигельная печь промышленной частоты (ИЧТ), кислая футеровка, тридимит, кристобалит, межплоскостные расстояния, технологические режимы плавки.

Огнеупорные материалы и изделия обеспечивают функционирование основных технологических агрегатов и машин в большинстве отраслей промышленности. Во многих случаях функционирование и эффективность целых технологических систем обусловлены качеством и эксплуатационными свойствами огнеупоров. Это прежде всего относится к черной и цветной металлургии, энергетике, химической промышленности, машиностроению и др.

Основу большинства видов огнеупорных материалов составляют следующие тугоплавкие оксиды: MgO ($T_{\rm nn}$ 2800 °C), CaO (2614 °C), Cr₂O₃ (2299 °C), Al₂O₃ (2050 °C), SiO₂ (1730 °C), ZrO₂ (2700 °C). Изготовленные с использованием этих оксидов изделия по химическому составу классифицируют на:

- ► кислые на основе SiO₂;
- ▶ основные на основе MgO и CaO;
- ► нейтральные на основе Al₂O₃ и Cr₂O₃.

По специальным признакам их классифицируют на следующие виды:

- ▶ природного происхождения и искусственно полученные;
- ▶ формованные, имеющие определенную геометрическую форму и размеры;

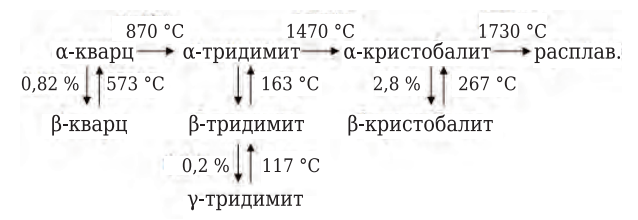
 \bowtie

В. А. Кукарцев E-mail: sarabernar777@mail.ru ► неформованные, выпускаемые в виде порошков, употребляемые после смешения с другими компонентами в виде масс, готовых к применению.

Одной из самых больших групп потребителей кислых огнеупорных материалов является металлургическая отрасль, в которой они применяются в качестве флюса, а также как огнеупорный кислотостойкий материал (динас) и в производстве ферросплавов. Кроме того, из кварцитов производят неформованные огнеупорные материалы для футеровки индукционных печей, чугуноплавильных и сталеразливочных ковшей.

Индукционная тигельная печь промышленной частоты (ИЧТ), используемая в литейном производстве, относится к основным производственным фондам предприятия и является основным фактором, определяющим стратегию развития предприятия в целом. Увеличение надежности работы печи — одна из основных задач воспроизводства этих фондов. Это обеспечивается универсальностью при выплавке сплавов, производительностью, высокой стойкостью футеровки, энергоэффективностью и оптимизацией затрат на обслуживание [1]. В соответствии с паспортом печи ИЧТ она рассчитана на выплавку сплавов при температуре плавления не выше 1450 °C и использование при этом кислой футеровки, обеспечивающей ее высокую стойкость. Основой этой футеровки является кварцит [2].

При переходе из одной модификации кварца в другую происходит значительное изменение объема, что необходимо учитывать при разработке технологии производства и условий эксплуатации огнеупора:



По горизонтали указаны стабильные модификации, по вертикали — нестабильные модификации, температуры превращения одной модификации в другую, а также изменения объема при превращениях. Горизонтальные превращения протекают медленно и практически необратимо, превращения в пределах одной модификации (вертикальные) протекают сравнительно легко и являются обратимыми. Как видно, примерно при 600 °C проходят все превращения в метастабильных фазах [3].

О степени перехода кварца в тридимит и кристобалит можно судить по плотности обожженных изделий из динаса. Чем меньше плотность, тем полнее переход. Если выложить футеровку печи из слабообожженного огнеупора, в котором кварц не перешел в кристобалит или тридимит, то эти превращения произойдут в кладке при разогреве печи. При этом объем огнеупоров значительно увеличится, и кладка может разрушиться. Динасовые изделия, в которых при обжиге большая часть кварца переходит в тридимит или кристобалит, называются тридимитизированными или тридимито-кристобалитовыми. В их составе содержится 40-70 % тридимита, 20-40 % кристобалита, 5-15 % кварца и стекловидного вещества 1-15 % [4]. Тридимито-кристобалитовый динас сохраняет механическую прочность и не меняет форму почти до температуры плавления. Поэтому динасовые изделия находят широкое применение в металлургии, особенно там, где требуется высокая механическая прочность при высоких температурах

Еще Н. К. Казнаков в 1934 г. обнаружил, что при нагреве динасового изделия выше 575 °C происходит превращение β-кварца в α-кварц. При нагреве выше 870 °C должен образовываться тридимит, но этого не происходит, а вместо этого при 1200 °C наблюдается превращение в кристобалит. При более высокотемпературном обжиге изделий кристобалит превращается в тридимит [5]. Такая картина превращений в динасе наблюдается в том случае, если динас изготавливают из медленно перерождающихся в обжиге кристаллических кварцитов.

Кроме того, установлено влияние температуры обжига и длительности выдержки на микроструктуру изделия. Так, в микроструктуре динаса, обожженного при 1350 °C, наблюдает-

ся практически полное отсутствие тридимита (плотность динаса 2,45 г/см³), а в микроструктуре динаса, обожженного при 1450 °С, происходят растрескивание крупных частиц кварцита и образование большого количества мелкого тридимита (плотность динаса 2,40 г/см³). Существенным недостатком динаса является низкая стойкость при резких изменениях температуры (термостойкость), он выдерживает всего 1–2 водяных теплосмены. Установлено, что многократное циклическое изменение температуры в стекловаренной печи с футеровкой из динасовых изделий влияет на степень перерождения кварцита в тридимит и кристобалит и, соответственно, на ее стойкость [6].

Аналогичные процессы должны происходить и в кварците, который применяется для изготовления футеровки ИЧТ, и влиять на ее стойкость [7]. Установлены [8] изменения размеров кристаллической решетки кварцита, плотности элементарной ячейки и полиморфные превращения, которые происходили при следующих условиях:

- во время удаления влаги с применением разных температурных режимов;
- при температуре, соответствующей окончанию процесса спекания футеровки;
- при температурах, соответствующих сливу плавки и загрузке новой металлозавалки. Однако к параметрам кристаллической решетки, которые влияют на ее изменения во время воздействия температурных режимов плавки, относится и межплоскостное расстояние, которое влияет также на стойкость самой футеровки [9]. Оно представляет собой величину, кратную расстоянию между ближайшими одинаковыми плоскостями атомов (ионов) в кристалле, и является как бы его паспортом (рис. 1).

По этой причине цель настоящей работы — исследования изменений межплоскостных расстояний в кварците под воздействием температур, соответствующих технологическим режимам плавки синтетического чугуна в печи ИЧТ-10 при рабочих температурах плавки

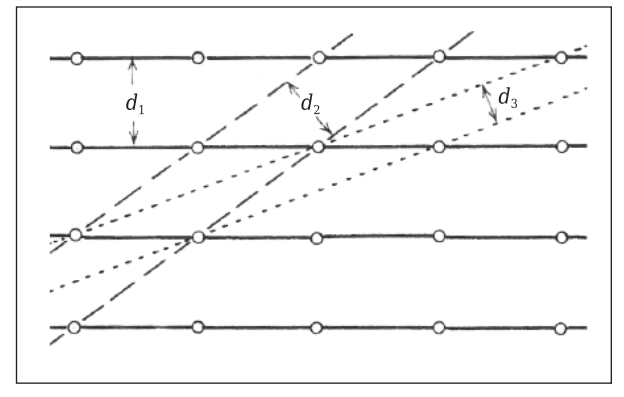


Рис. 1. Схема расположения различных межплоскостных расстояний d в структуре кристалла

выше 1450 °C (рис. 2) [10]. Использование этих температур обусловлено применением в металлозавалке до 90 % стального лома как в нашей стране, так и за рубежом [11]. Эти режимы сохраняются до полного технологического износа футеровки, т. е. до момента ее выбивки. Применение высоких температур плавки приводит к более интенсивному протеканию реакций взаимодействия футеровки с расплавом и

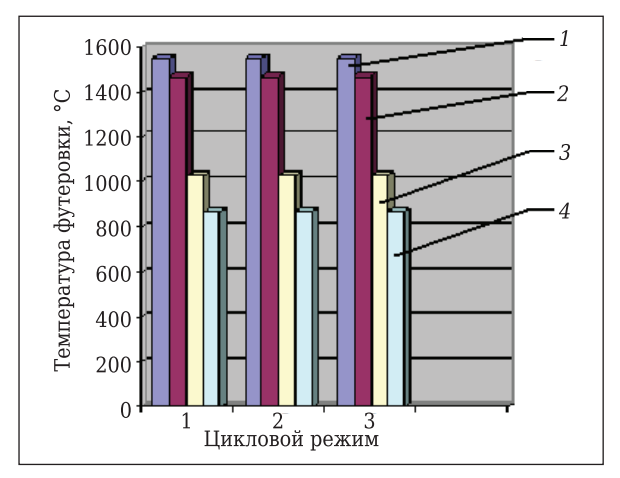


Рис. 2. Технологические операции плавки в печи ИЧТ 2,5: 1 — режим плавления, 1550-1570 °C; 2 — слив первой порции металла, 1470 °C; 3 — слив второй порции металла, 1025 °C; 4 — загрузка свежей металлозавалки. 870 °C

значительно снижает ее стойкость [12]. Поиск решений, позволяющих повысить ресурс работы плавильной печи, является одной из задач повышения эффективности производства [13].

Исследования проводили для кварцита марки ПКМВИ Первоуральского динасового завода с использованием дифрактометра D8 ADVANCE фирмы Bruker. Дифрактограммы снимали при всех температурах технологического режима плавки. Так как на степень перерождения одной модификации кварцита в другую влияет предварительный обжиг, применяемый для удаления влаги, исследования проводили в два этапа. На первом этапе использовали кварцит, из которого влагу удалили нагревом до 800 °C с последующей выдержкой в течение 2 ч, в результате чего произошел сдвиг межплоскостных расстояний и после проведения режима спекания в кварците появился а-тридимит [14]. На рис. З показаны межплоскостные расстояния после проведения первого и третьего циклов плавки. В кварците под воздействием температур, соответствующих технологическому режиму плавки, произошли изменения, связанные с образованием α-тридимита:

1. Ячейка кристаллической решетки α -кварца характеризуется следующими параметрами: a=b=4,96500 Å, c=5,42400 Å, объем элементарной ячейки V=115,79 Å³, плотность элементарной ячейки $D_x=2,585$ г/см³.

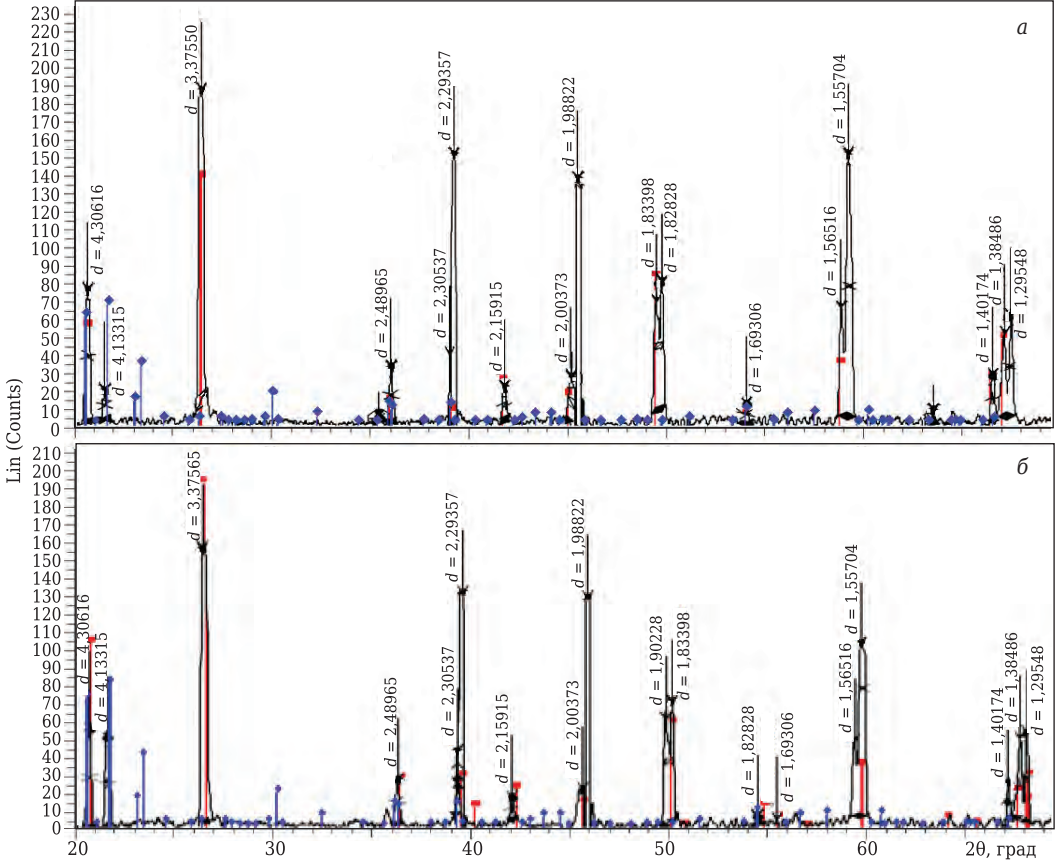


Рис. 3. Дифрактограммы кварцита (первый этап исследования), снятые при 1550 °С, после первого (a) и третьего (b) циклов плавки: □ — α-кварц; □ — α-тридимит; d — межплоскостное расстояние, Å

- 2. Ячейка кристаллической решетки α -тридимита имеет следующие характеристики: $a=18,50400,\ b=5,00640,\ c=23,84500\ \text{Å},\ V=2125,08\ \text{Å}^3,\ D_{\text{x}}=2,254\ \text{г/cm}^3.$
- 3. Усредненная величина межплоскостного расстояния в структуре кварцита $d_{\rm cp} = 2,307$ Å.

В кварците под воздействием температур, соответствующих третьему технологическому режиму плавки, произошли следующие изменения:

- 1. Ячейка кристаллической решетки α -кварца сохранила свои параметры: a=b=4,96500 Å, c=5,42400 Å, V=115,79 Å³, $D_{x}=2,585$ г/см³.
- 2. В параметрах ячейки кристаллической решетки α -тридимита также никаких изменений не произошло: a=18,50400 Å, b=5,00640 Å, c=23,84500 Å, V=2125,08 Å 3 , $D_x=2,254$ г/см 3 .
- 3. Усредненная величина межплоскостного расстояния в структуре кварцита изменилась и составила $d_{\rm co}=2,37784~{\rm \AA}.$

На втором этапе исследований использовали кварцит, из которого влагу удалили нагревом до 200 °С с последующей выдержкой в течение 4 ч. Результаты изменения межплоскостных расстояний показаны на рис. 4. В кварците под воздействием температур, соответствующих технологическому режиму плавки, произошли изменения, связанные с образованием α-кристобалита:

- 1. Ячейка кристаллической решетки α -кварца характеризуется следующими параметрами: a=b=4,99400 Å, c=5,43800 Å, V=17,45 ų, $D_x=2,548$ г/см³.
- 2. Ячейка кристаллической решетки α -кристобалита имеет следующие характеристики: a=b=c=7,12000 Å, V=360,94 ų, $D_{\rm x}=2,211$ г/см³.
- 3. Усредненная величина межплоскостного расстояния в структуре кварцита $d_{\rm cp}$ = 2,41 Å.

В кварците под воздействием температур, соответствующих третьему технологическому режиму плавки, произошли следующие изменения:

- 1. Ячейка кристаллической решетки α -кварца сохранила свои параметры: a=b=4,99400 Å, c=5,43800 Å, V=117,45 ų, $D_{\rm x}=2,548$ г/см³.
- 2. В параметрах ячейки кристаллической решетки α -кристобалита никаких изменений не произошло: a=b=c=7,12000 Å, V=360,94 ų, $D_{\rm x}=2,211$ г/см³.
- 3. Усредненная величина межплоскостного расстояния в структуре кварцита изменилась и составила $d_{\rm cp}=2,6996$ Å.

ЗАКЛЮЧЕНИЕ

1. В кварците, подвергнутом термообработке при 800 °С, после проведения первого цикла плавки присутствуют α-кварц и α-тридимит.

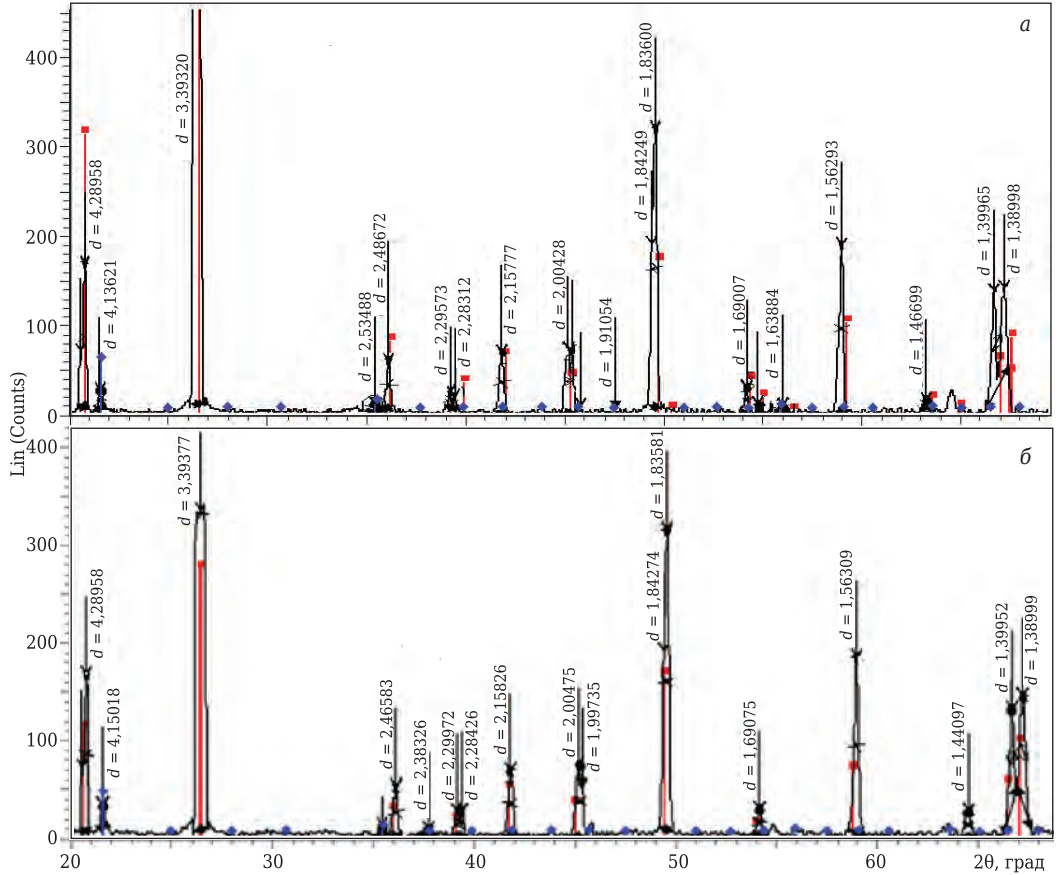


Рис. 4. Дифрактограмма кварцита (второй этап исследования), снятая при 1550 °С, после первого (a) и третьего (b) цикла плавки: □ — α-кварц; □ — α-кристобалит; b — межплоскостное расстояние, b

После проведения третьего цикла плавки параметры этих фаз не меняются, но происходит изменение величины усредненного межплоскостного расстояния на 3 %.

2. В кварците, подвергнутом температурной обработке при 200 °С, после проведения первого цикла плавки присутствуют α-кварц и α-кристобалит. После проведения третьего цикла плавки параметры фаз не меняются, но изменяется величина усредненного межплоскостного расстояния на 12 %.

Библиографический список

- 1. **Кукарцев, В. В.** Комбинированный метод принятия решений по воспроизводству основных производственных фондов // Проблемы машиностроения и автоматизации / В. В. Кукарцев, О. А. Антамошкин. М.: ГУ РосНИИ ИТ и АП. 2011. Вып. 2. С. 56-60.
- 2. **Wanl, F. M.** Phase transformations in silica as examined by continuous X-ray diffraction /F. M. Wanl, R. E. Gnru, ANo R. B. Gn'll // University of Illinois. Urbana, Illinois. The American mineralogist. 1961. Vol. 46, January February. P. 206.
- 3. **Tgoupson**, **A. B.** Heat capacities and inversions in tridymite, cristobalite, and tridymite-cristobalite mixedphases / A. B. Tgoupson, M. Wennemer // American Mineralogist. 1979. Vol. 64. P. 10I3–1026.
- 4. **Кащеев, И. Д.** Химическая технология огнеупоров / И. Д. Кащеев, К. К. Стрелов, П. С. Мамыкин. М. : Интермет Инжиниринг, 2007. 752 с.
- 5. **Белянкин, Д. С.** Петрография технического камня / Д. С. Белянкин, В. В. Иванов, В. В. Лапин. М. : Изд. АН СССР, 1952. 583 с.
- 6. *Balandis, A.* Silica crown refractory corrosion in glass melting furnaces / *A. Balandis, D. Nizeviciene //* Science of Sintering. 2011. Vol. 43. P. 295–303.
- 7. **Платонов, Б. П.** Индукционные печи для плавки чугуна / Б. П. Платонов, А. Д. Акименко, С. М. Богуцкая [и др.]. М. : Машиностроение, 1976. 176 с.
- 8. **Кукарцев, В. А.** Термический анализ кварцита, используемого для футеровки индукционной тигельной печи промышленной частоты / В. А. Кукарцев, А. И. Трунова, А. В. Кукарцев // Новые огнеупоры. 2014. № 5. С. 33-35.

Kukartsev, **V. A.** Thermal analysis of quartzite used to line a crucible-equipped industrial-frequency induction furnace / V. A. Kukartsev, A. I. Trunova, A. V. Kukartsev // Refractories and Industrial Ceramics. — 2014. — Vol. 55, \mathbb{N} 3. — P. 220–222.

3. Так как увеличение межплоскостных расстояний в структуре кварцита приводит к росту его объема, то футеровка на его основе будет более устойчива к температурным расширениям и сужениям при воздействии технологических температур циклов плавки.

Таким образом, футеровка на основе кварцита, состоящего из α-кварца и α-кристобалита, будет обладать более высокой стойкостью при рабочих температурах плавки выше 1550 °C.

- 9. **Бетехтин, А. Г.** Курс минералогии ; учебник / А. Г. Бетехтин. М. : Изд-во КДУ, 2007. 721 с.
- 10. **Шумихин, В. С.** Синтетический чугун / В. С. Шумихин, П. П. Лузан, М. В. Жельнис. Киев : Наукова думка, 1971. 160 с.
- 11. *Edalati, K.* Influence of SiC and FeSi addition on the characteristics of gray cast iron melts poured at different temperatures / *K. Edalati, F. Akhlaghi, M. Nili-Ahmadabadi* // J. Mater. Proc. Technol. 2005. Vol. 160. P. 183–187.
- 12. **Zuno-Silva**, **J.** Estudio a nivel laboratorio de la Degradación atípica en un refractario tipo SiO₂ utilizado en hornos de inducción Laboratory scale study of uncommon degradation SiO₂ refractories used on induction furnaces / J. Zuno-Silva, A. Bedolla-Jacuinde, J. M. Martínez-Vázquez [et al.] // Revista Electronica Nova Scientia. 2013. Vol. 6. № 11. P. 113–134.
- 13. **Кукарцев, В. А.** Повышение ресурса индукционной тигельной печи промышленной частоты при температуре выше 1550 °С / В. А. Кукарцев // Технология машиностроения. 2014. № 1. С. 5, 6.
- 14. **Кукарцев, В. А.** Исследование рентгеновскими методами влияния температуры на межплоскостные расстояния кристаллической решетки первоуральского кварцита, используемого для футеровки индукционных печей / В. А. Кукарцев, А. К. Абкарян // Новые огнеупоры. 2013. № 10. С. 44–46.

Kukartsev, V. A. Study by X-ray methods of the effect of temperature on crystal lattice interplanar distances of pervoural'sk quartzite used for induction furnace lining / V. A. Kukartsev, A. K. Abkaryan // Refractories and Industrial Ceramics. — 2014. — Vol. 54, № 5. — P. 413–415. ■

Получено 30.07.18 © В. А. Кукарцев, В. В. Кукарцев, А. В. Кукарцев, 2018 г.

НАУЧНО-ТЕХНИЧЕСКАЯ ИНФОРМАЦИЯ

ADVANCED CERAMICS AND COMPOSITES

ceramics.org/icacc2019